

国立防災科学技術センター 正会員 ○ 稲葉誠一

同

小川信行

司

実験観察

宏

## 1. はじめに

石綿セメント管は、上下水道、用水路などとして広く用いられており、口径50cmから1mを越えるものまで種々使われている。これらは通常、地中に埋設されているため、周囲から絶えず変動土圧を受けているが、特に地震時には地盤からの強制変位を受け、被害も少なくない。水管管の場合には内圧が作用するため、その挙動は複雑であり異常な水圧の発生による被害も考えられる。昨年5月の伊豆半島沖地震における水管管の被害では水圧が原因と考えられる事例がいくつ見られた。また石綿セメント管は常ににおいても水壓などによる破損事故も少くない。本実験は動的内圧を受ける石綿セメント管の強度と破壊状況を調べるために行ったものである。

## 2. 実験装置

供試管に動的な水圧を加えるために図1のようないビストンシリンダ方式により振動台の変位を水圧に変換できるようにした。管の一端を固定側に、他端を振動台上のピストン部に支持し、通しボルトにより管とピストンの軸方向移動を拘束した。これに圧力ゲージ及び初圧を与えるための手動ポンプ用配管をとりつけた。シリンダの加圧面積は台の最大変位で100°以上の圧力を発生するように定めた。これにより振動台の性能の範囲で動的な水圧を加えることができるが、振動台変位と水圧の関係は近似的に次式で与えられる。Pを水圧、Uを振動台変位として、

$$P = \frac{A\beta/\nabla}{1+S^2\beta/k\nabla} U, \quad \frac{1}{\beta} = \frac{1}{K} + \frac{D}{E\alpha}$$

但し、K: 水の体積弾性率、E: 管材のヤング率( $0.26 \times 10^6$ )、α: 管厚、D: 内径、V: 内容積(81l)、A: 加圧面積( $616 \text{ cm}^2$ )、S: ピストン部右側受圧面積( $439 \text{ cm}^2$ )、k: 管支持部のパッキン等による剛性。

管には周応力のみ作用することを望ましいが本装置では受圧面積による軸力が管に作用する。

## 3. 実験の方法

供試管は水道用石綿セメント管1種

(保証水圧35kg)を図2の寸法に切ったもの7本を使用した。管には、ABC3点に2軸歪ゲージを貼付し周歪及び軸歪を測定した。又、No.1～3の管ではα～eの6個所に導電アルミ箔をまきつけ亀裂発生の時差を検知す

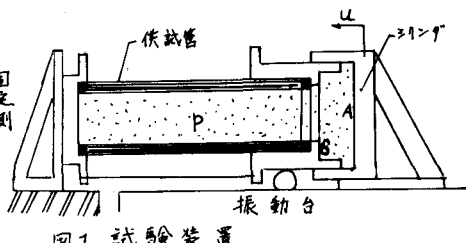


図1. 試験装置

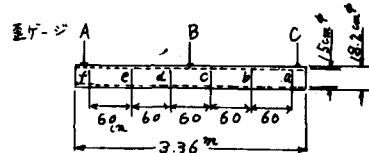


図2. 供試管形状

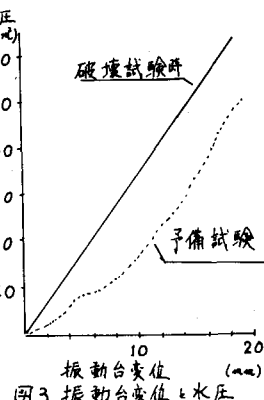


図3. 振動台変位と水圧

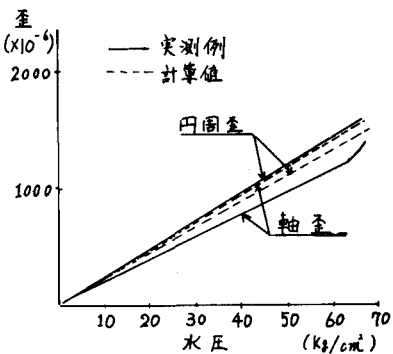


図4. 水圧と管の歪

ることを試みた。実験は予備的な加圧試験を行なった後、手動ポンプにより $5^k$ の圧力にセットし破壊実験用入力を加えた。入力はNo.1～3では水圧上昇速度一定で破壊に至らしめ、No.4～7では正弦波1波からなるパルス状波形としてピーク圧力を段々に上げて破壊に至らしめた。

#### 4. 実験結果と考察

実験結果を図3～7及び表に示す。振動曲変位と水圧の関係は予備加圧の後ではほぼ前式を満足する直線になる。管の歪は周歪、軸歪とも破壊までは直線的であり、ほぼ弾性挙動のみ、破壊に達している。図4の計算値は管に作用する軸力と内圧による平面応力状態を仮定した場合の歪量である。軸歪の差がやや大きいのは軸力が一様ではなく曲げ応力が発生しているためと思われる。破壊実験の結果から薄肉円筒式による内圧強度を算定すると $309 \sim 347 \text{ kg/cm}^2$ になり設計用の $225 \text{ kg/cm}^2$ に比べかなり高い。

静的な加圧試験では破壊発生時の水圧を測定しているが本実験の場合には加圧速度が大きいため初期亀裂の発生以後も水圧が上昇したものであるう。

鋼板入りの管は内圧強度については他と大差ないが図6のように鋼板より内面がまず破断し、わざわざ除荷されるが続いて外側の破壊を生じている。加圧速度の大きいNo.7ではこの点はみられない。歪波形には破壊後の周方向振動が認められ、No.3の管では約22%の自由振動を生じているが、加圧速度の大きいNo.5の場合には図5のように非弾性的挙動がみられる。破壊時の外側亀裂の時差検出は簡単な測定法であったが図6のように定性的には確認できた。また水圧の降下は外側亀裂が全長に走った後に生じることが認められ、破壊はまず、ほぼ一定応力のもとで脆性亀裂が走り、次いで亀裂部から塑性変形による開口が行なわれ水圧が除荷されている。図6から大略、亀裂速度 $\approx 1680 \text{ mm/s}$ で音速の約48%であるが、これは脆性破壊の理論より得る値と傾向としては一致している。

破壊の性状をパターン的に示すと図7のようであった。図5. 破壊試験の水圧と歪  
No.1に比べNo.5は開口が大きい。No.2では④と⑤の合成したタイプで亀裂は非連続である。鋼板入りの6と7は⑥のような深い亀裂を生じたが局部的である。

内面はいずれも①のようないわゆる亀裂を生じた。なお①はテストポンプによると静的な破壊の場合で、弱い亀裂で水圧が除荷された。

図7. 破壊の形状

表. 破壊試験の結果

試料 No	破壊時の 水圧 (kg/cm <sup>2</sup> )	歪		加圧の 方法	備考
		B点	A点		
1	71	1604	1439	定速度 $4 \text{ kg/cm}^2/\text{SEC}$	石綿セメント管
2	74	1717	1533	" $6 \text{ kg/cm}^2/\text{SEC}$	"
3	68	1530	1366	$10 \text{ kg/cm}^2/\text{SEC}$	"
4	68	1470	1203	正弦波状 $0.5 \text{ Hz}$	"
5	67	1510	1439	" $2 \text{ Hz}$	"
6	66	600 (1300)	1100	$0.5 \text{ Hz}$	鋼板入り石綿 セメント管
7	73	900	1071	" $2 \text{ Hz}$	"

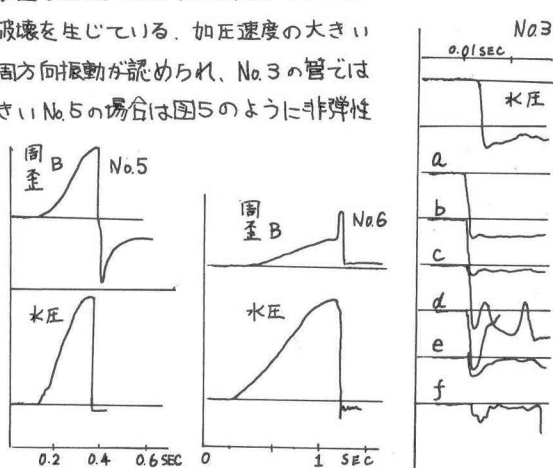


図6. 外側亀裂の走時

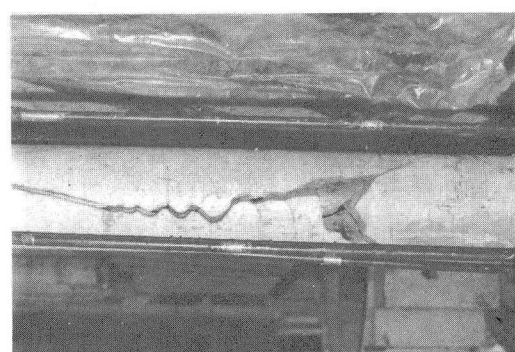


写真. 供試管No.6の破壊状況